

FIG. 1

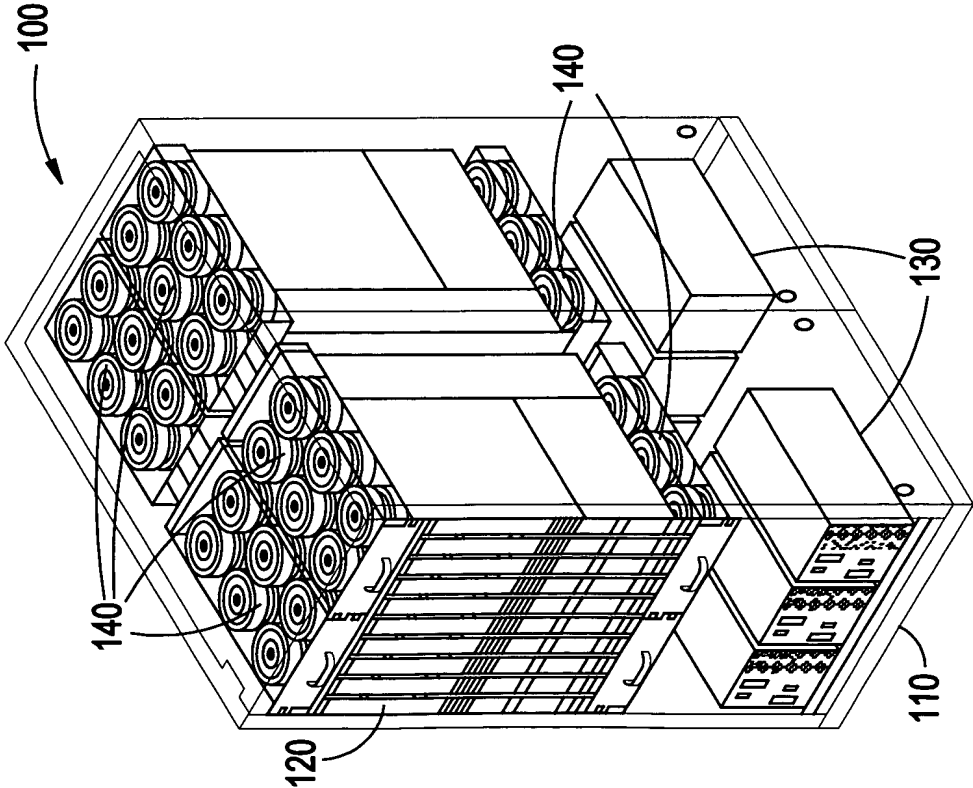


FIG. 2

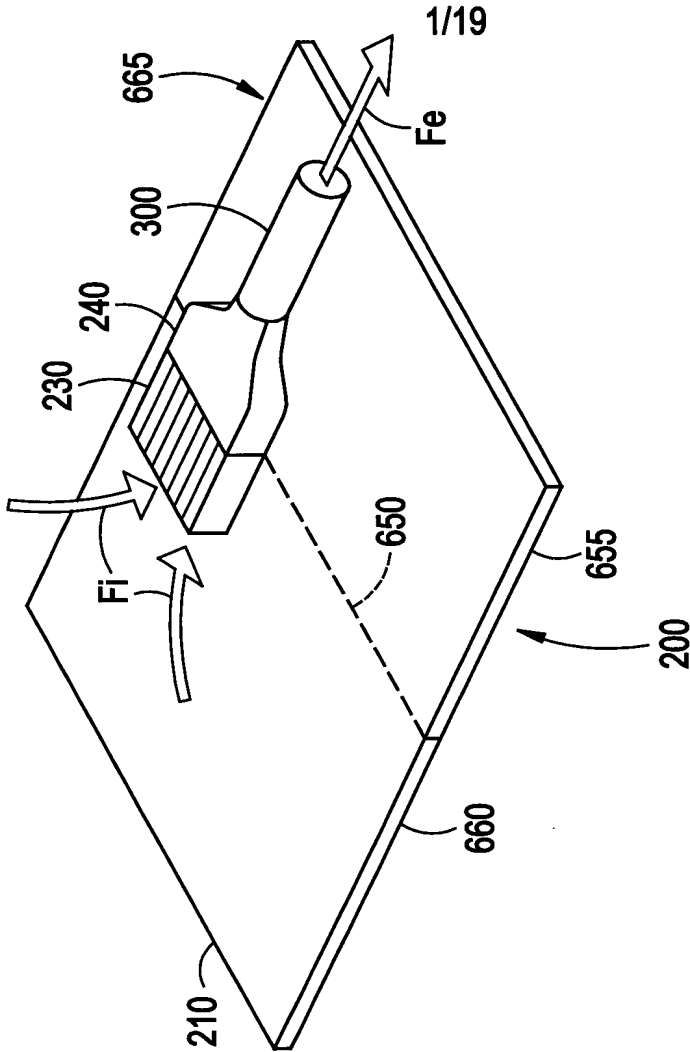
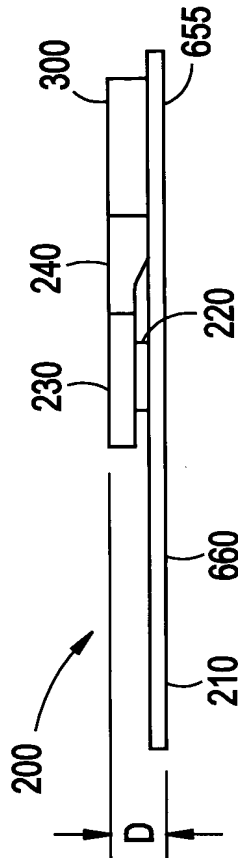


FIG. 3



2/19

FIG. 4

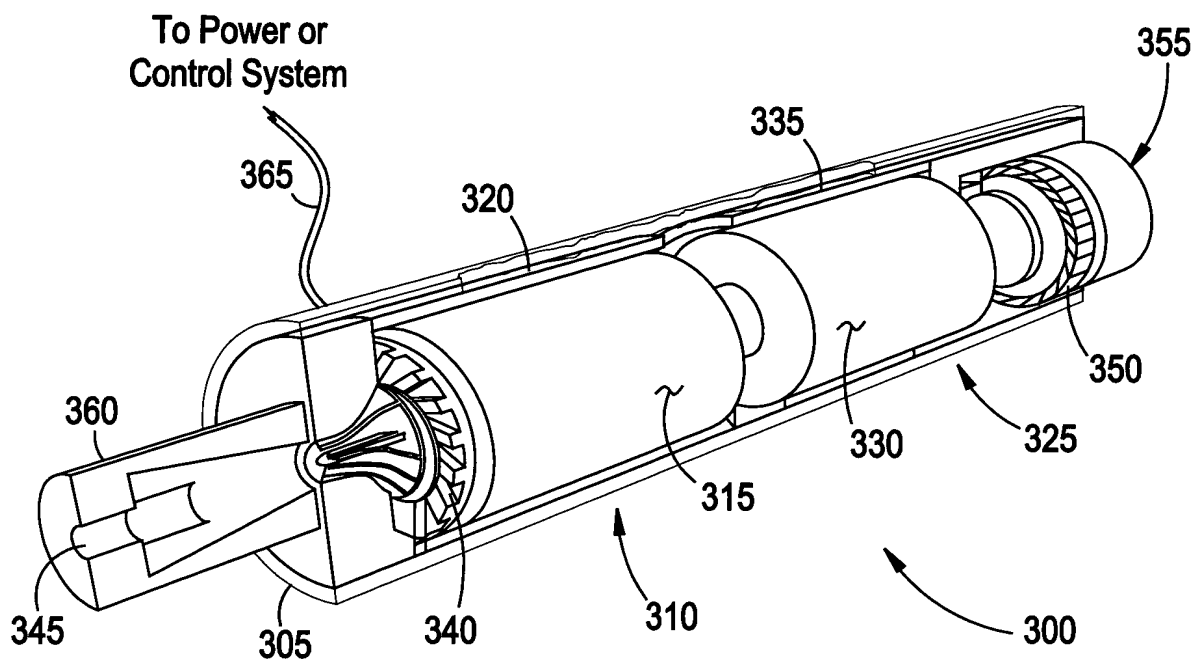


FIG. 5

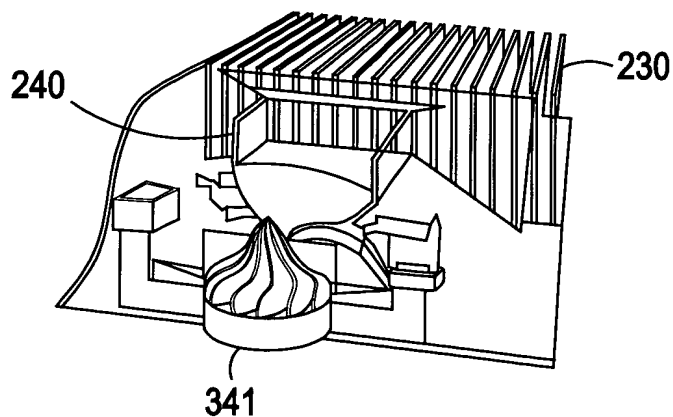
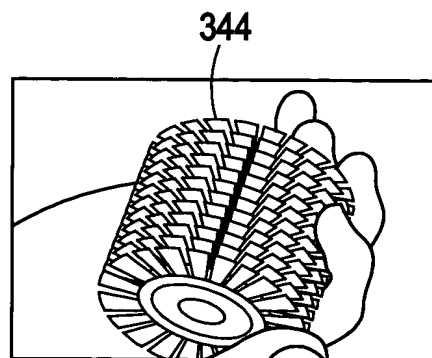


FIG. 6



3/19

FIG. 7

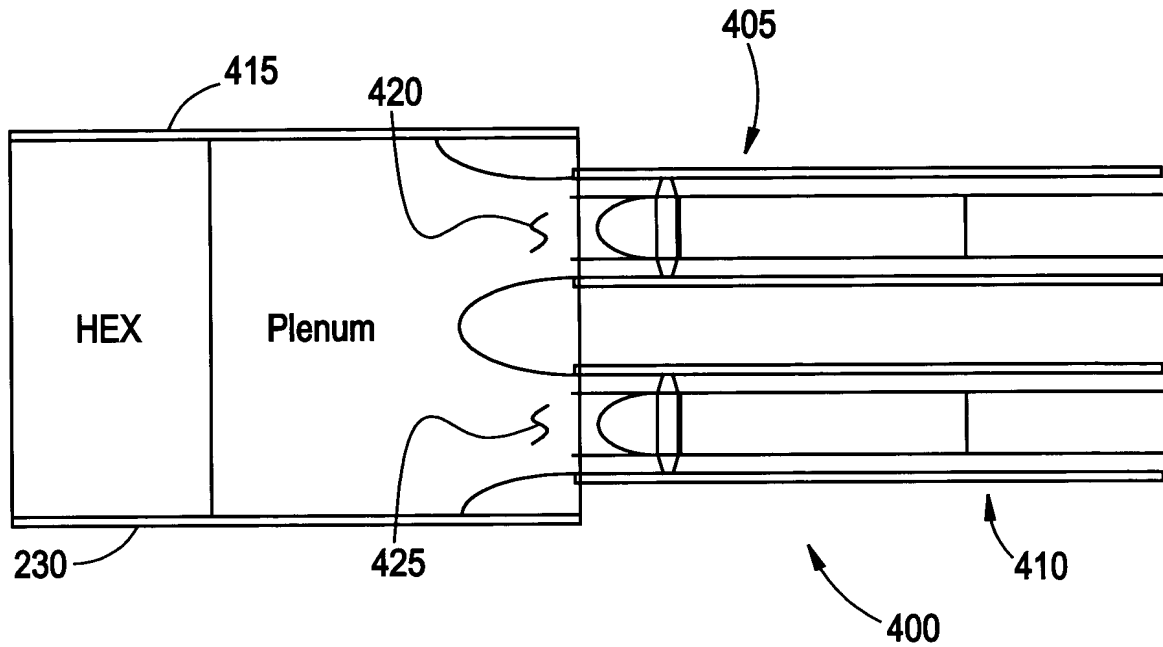
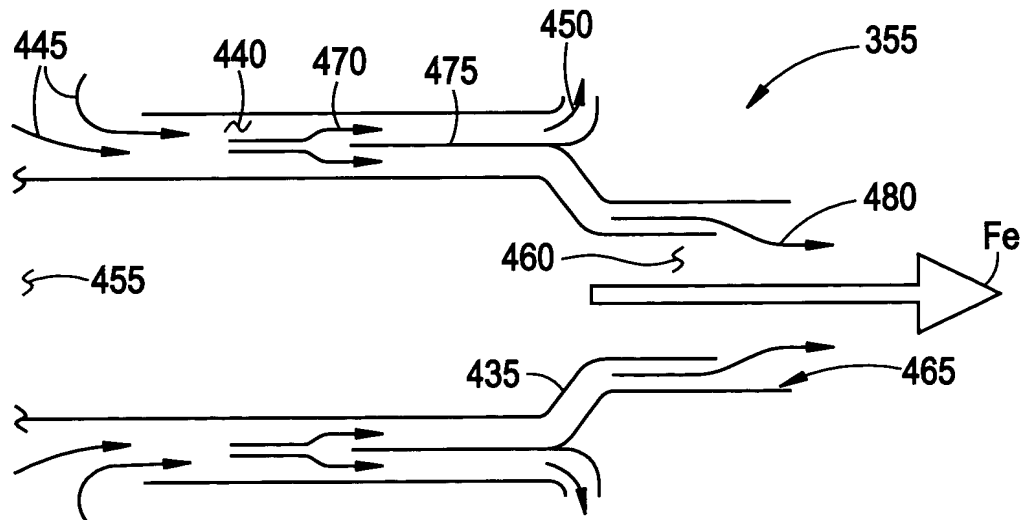


FIG. 8



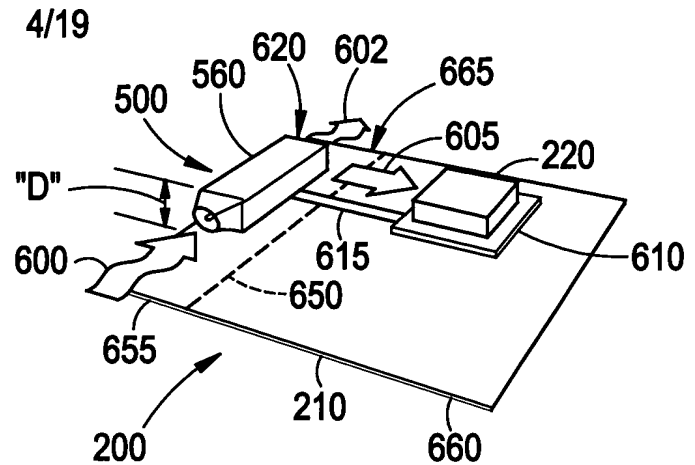
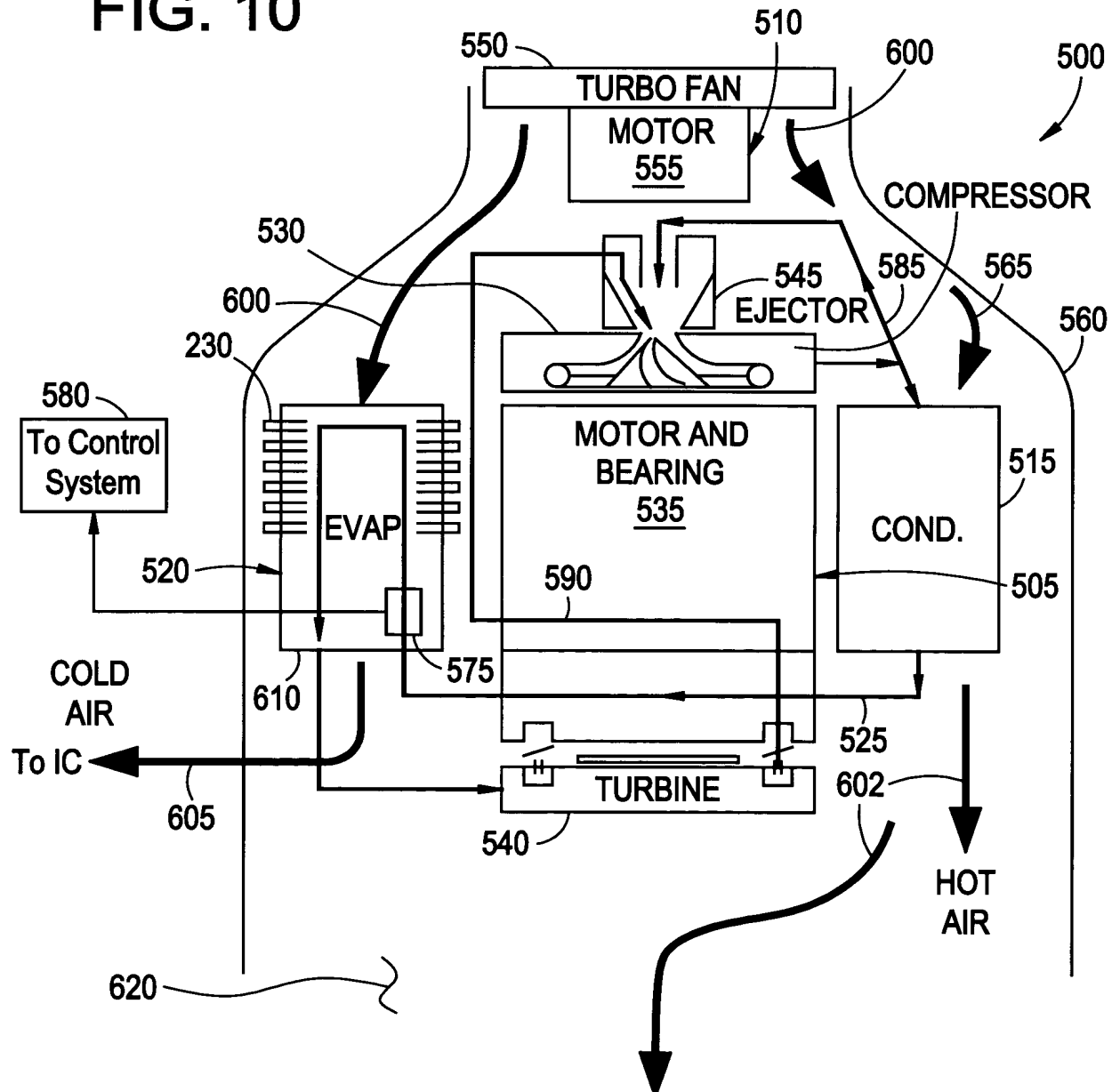
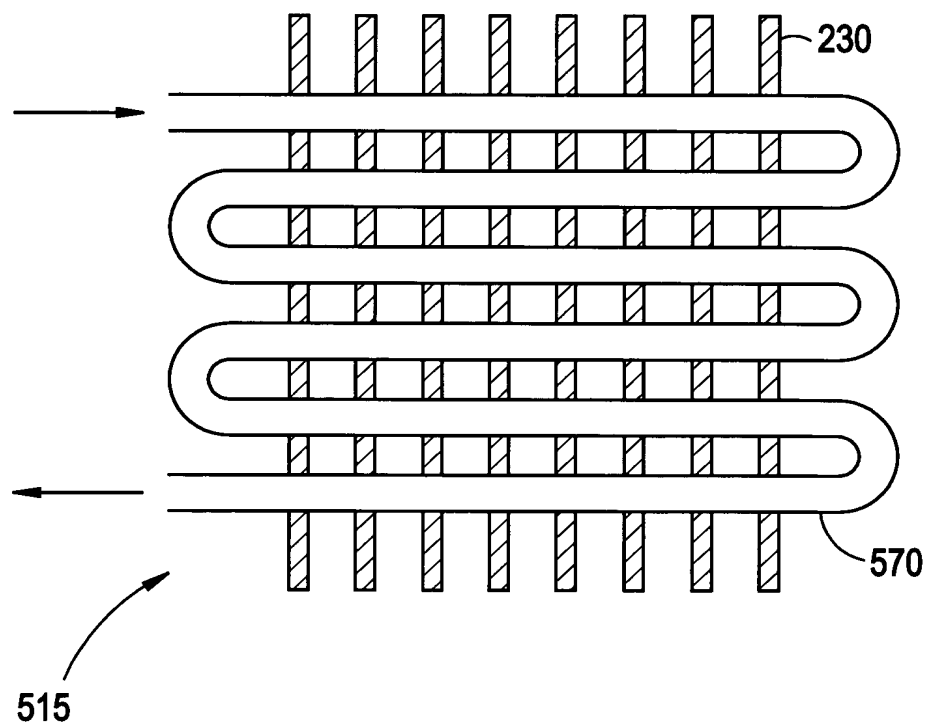


FIG. 10



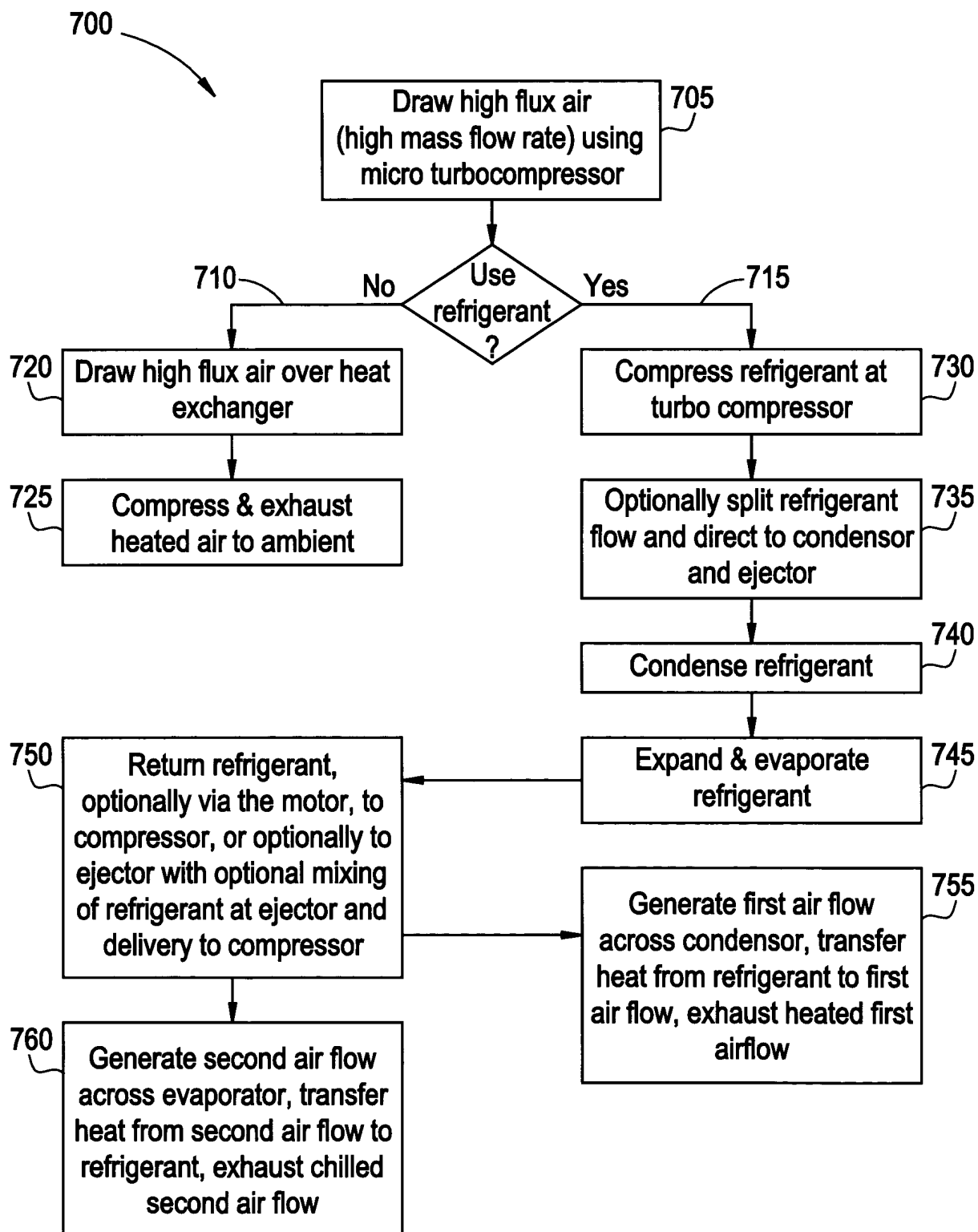
5/19

FIG. 11



6/19

FIG. 12



7/19

FIG. 13

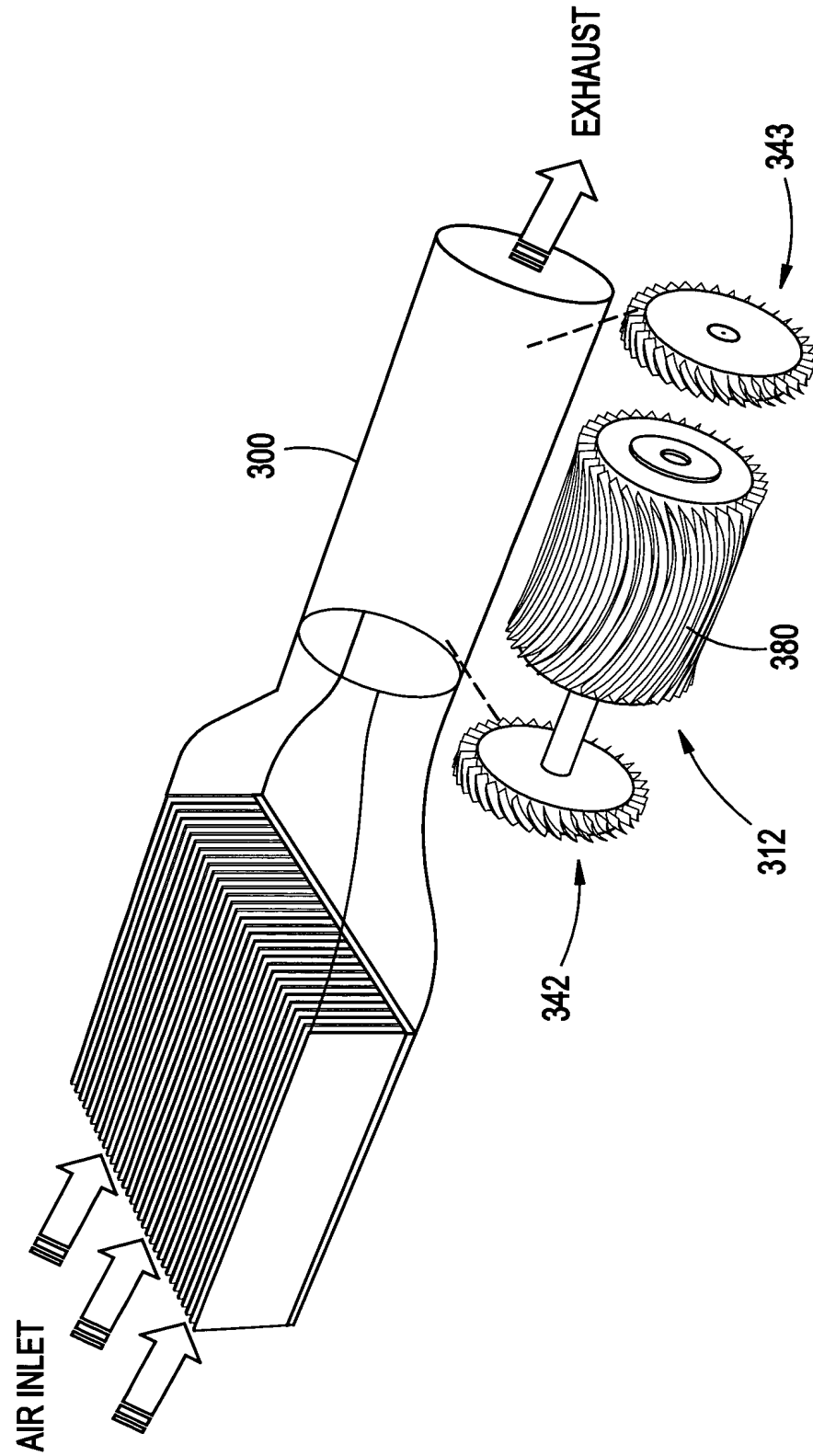
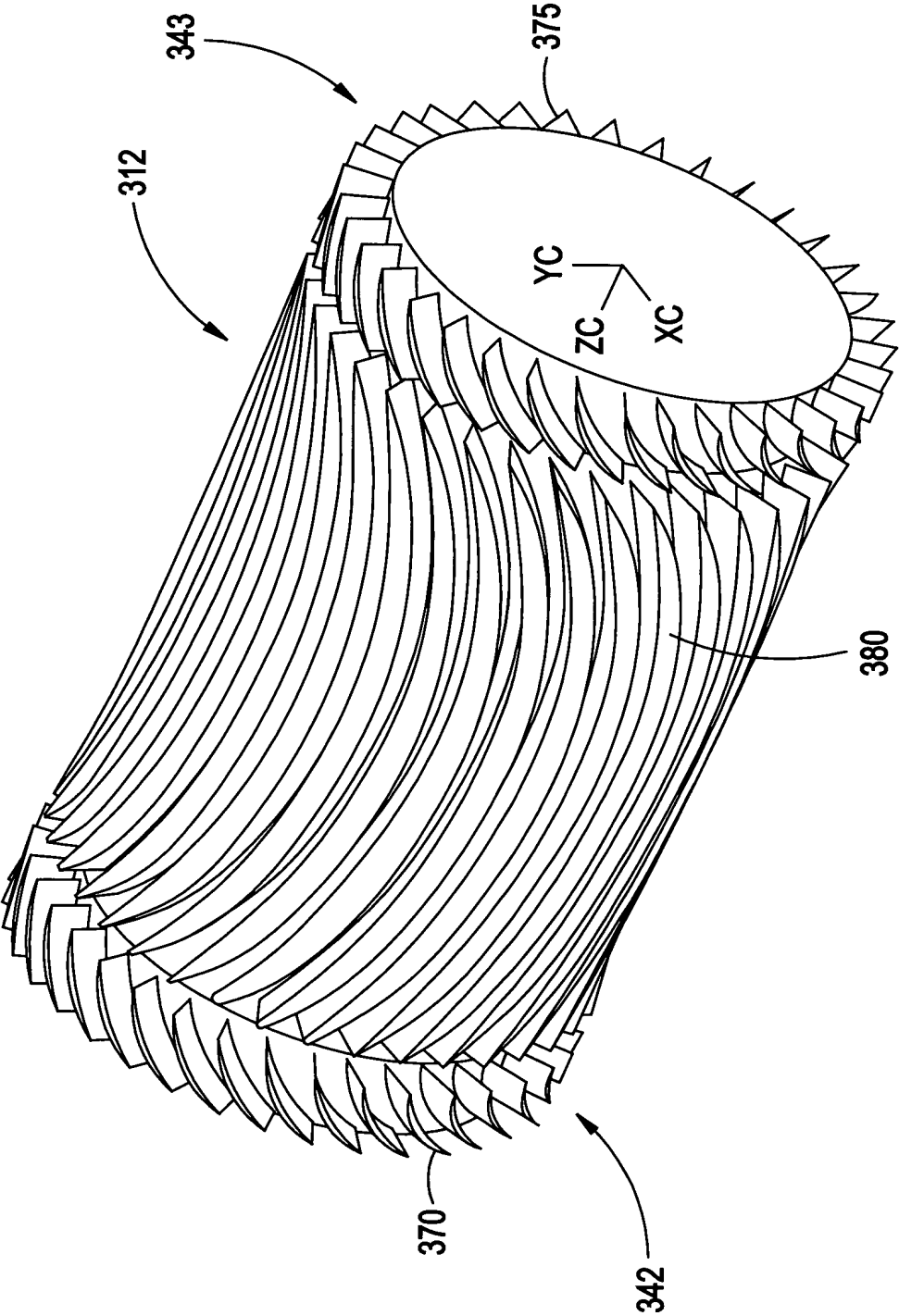


FIG. 14





9/19

FIG. 15

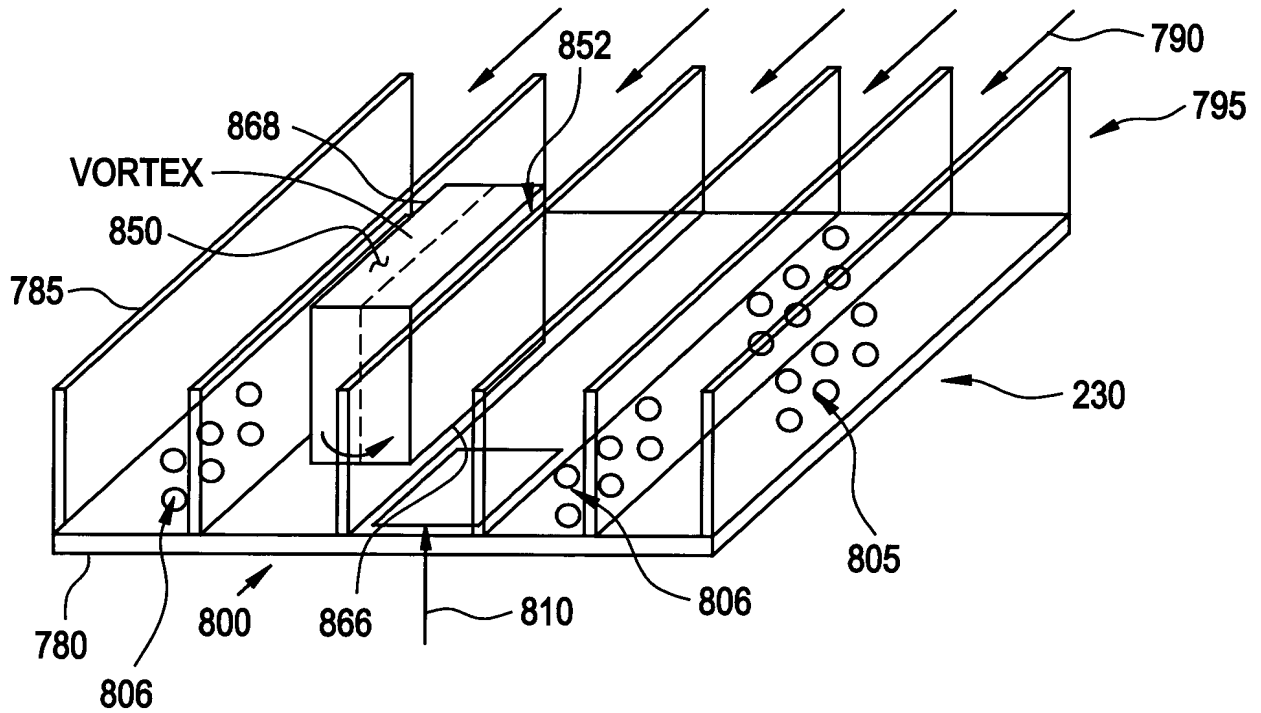
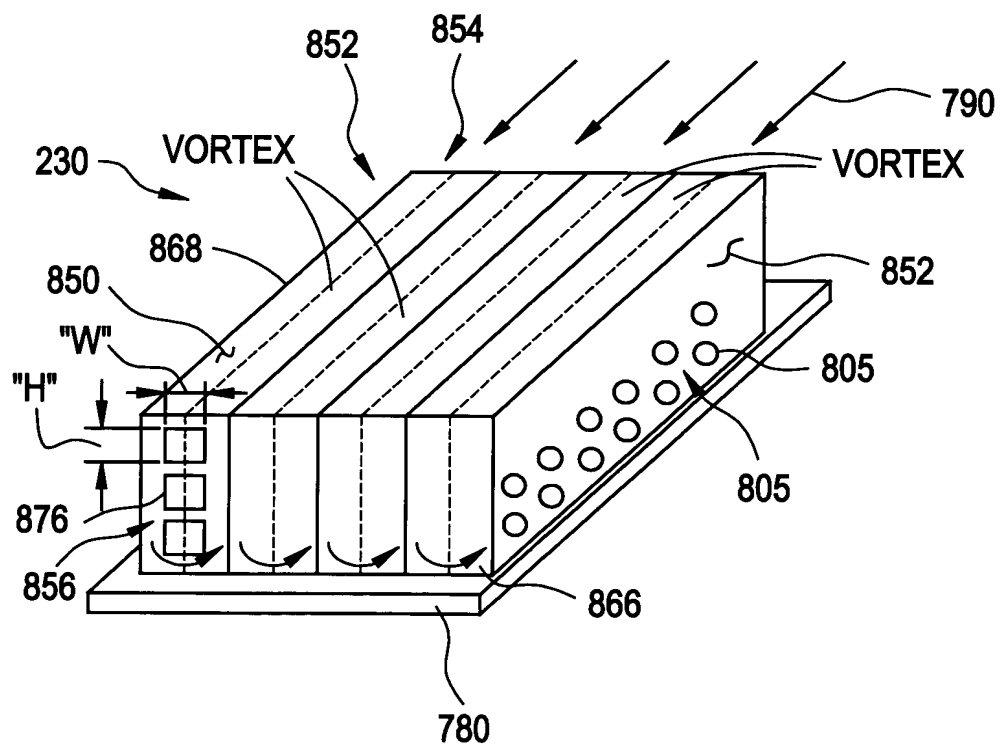


FIG. 16



10/19

FIG. 17

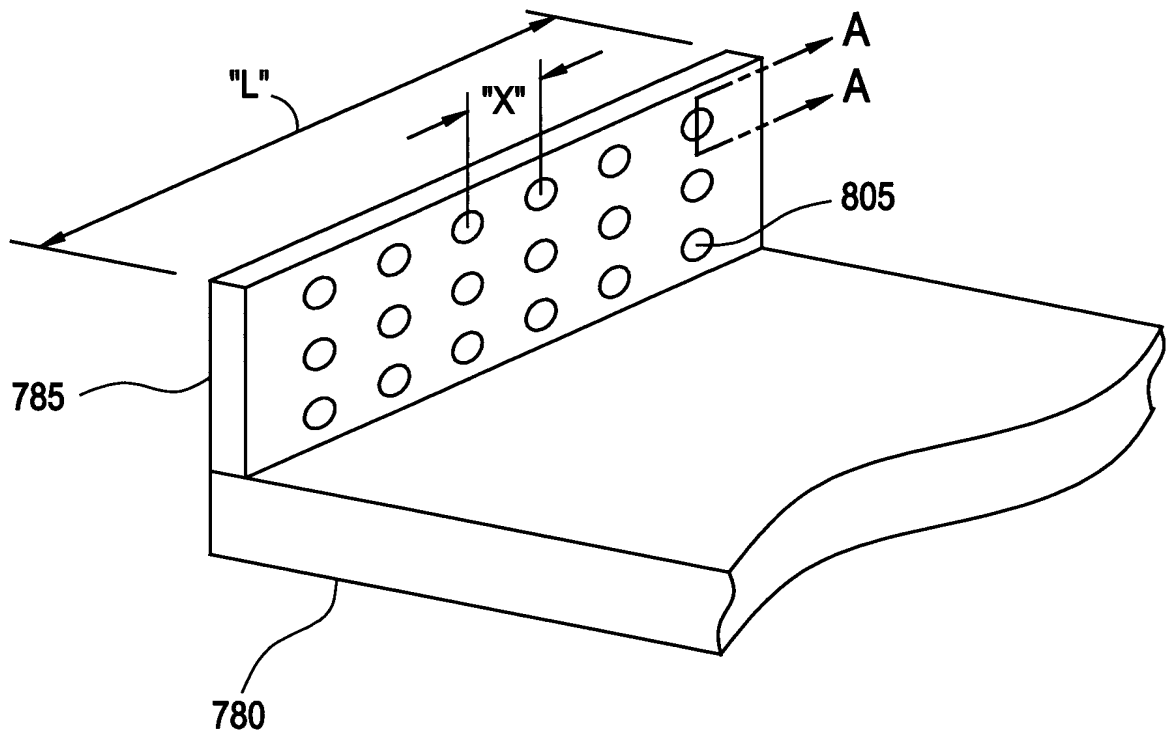
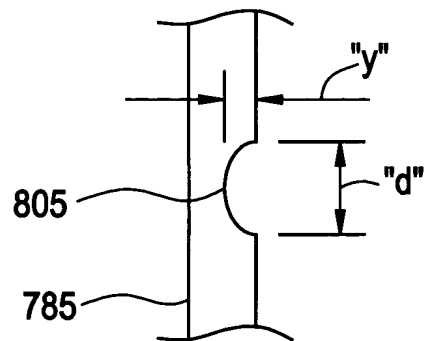
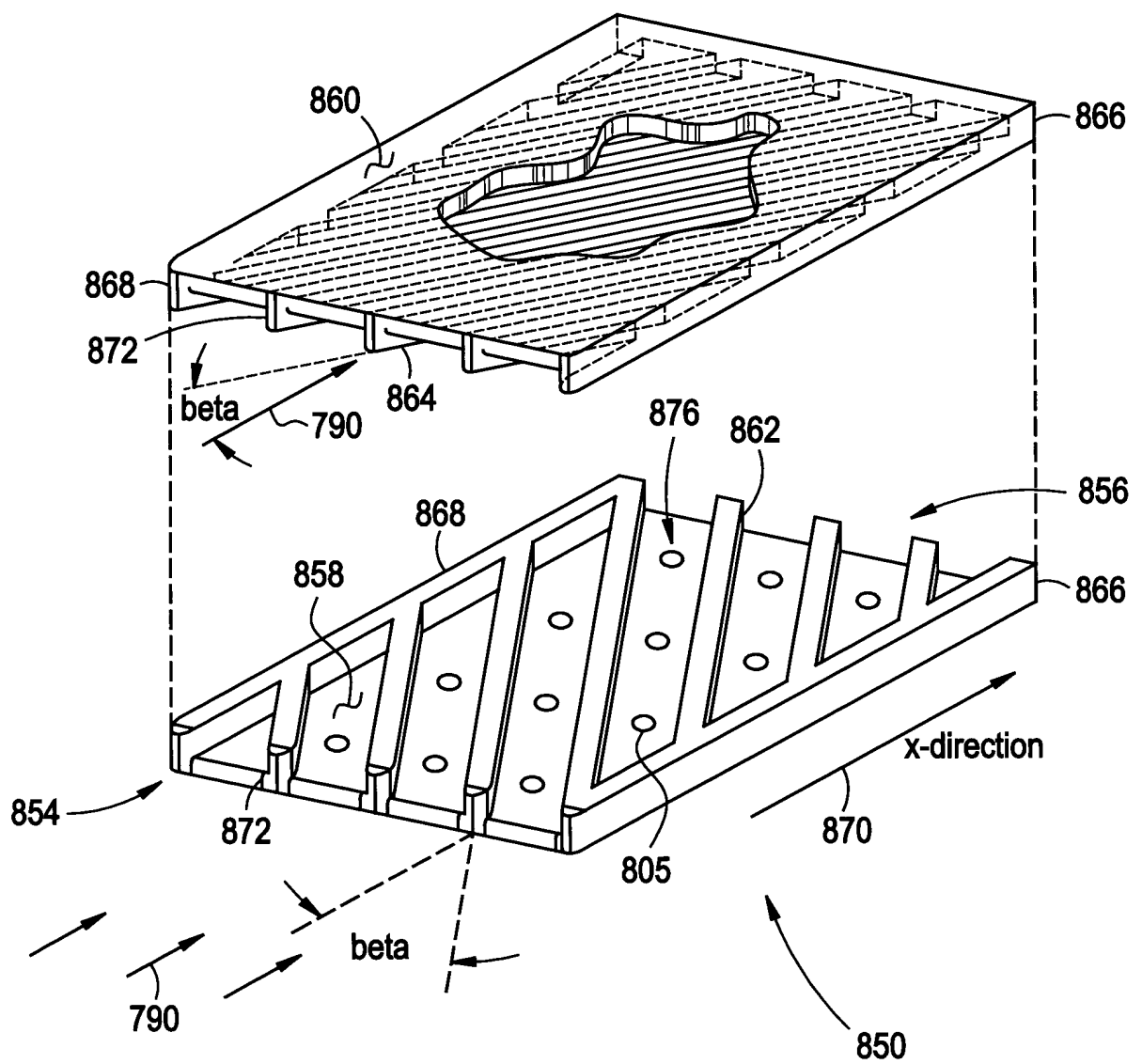


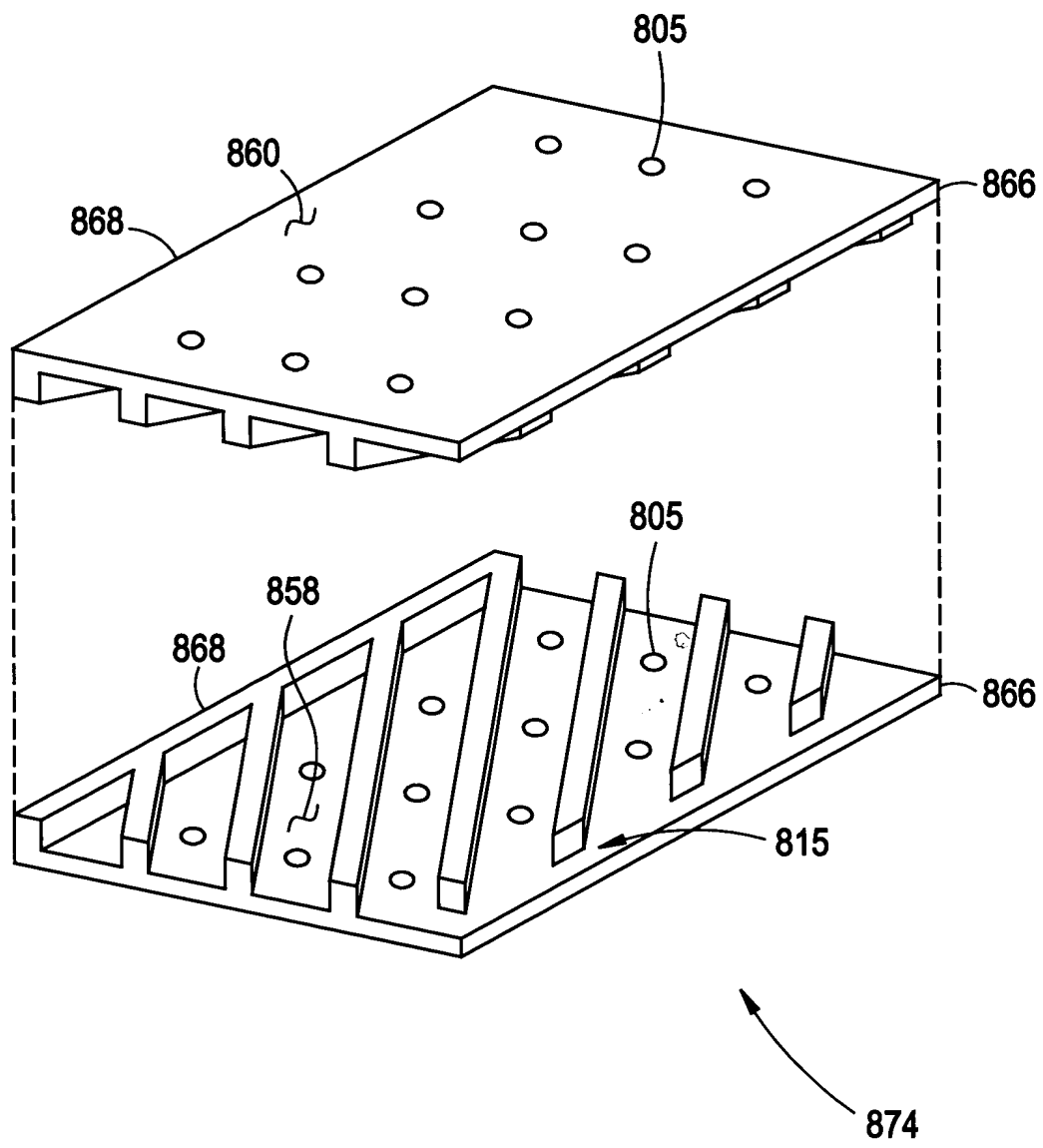
FIG. 18





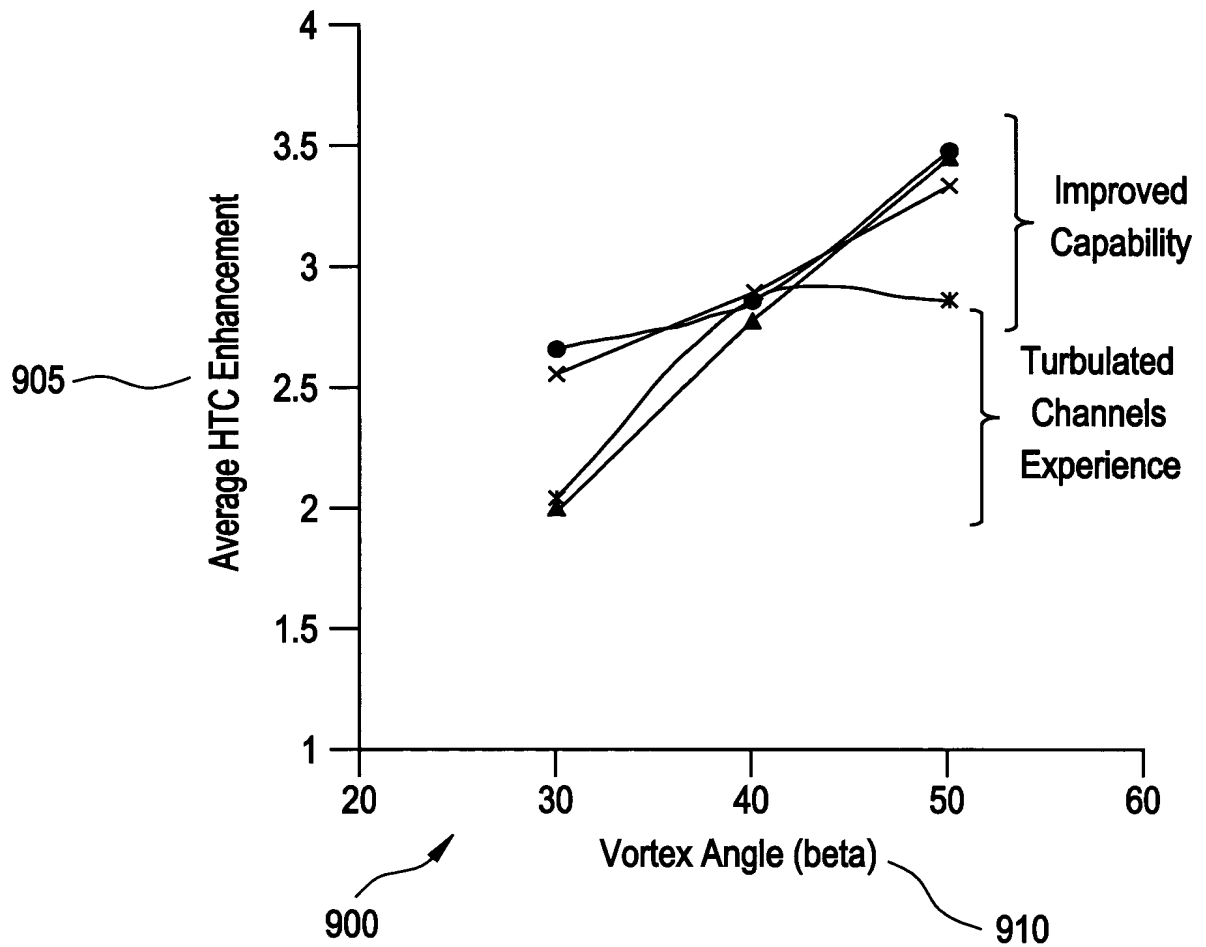
12/19

FIG. 20

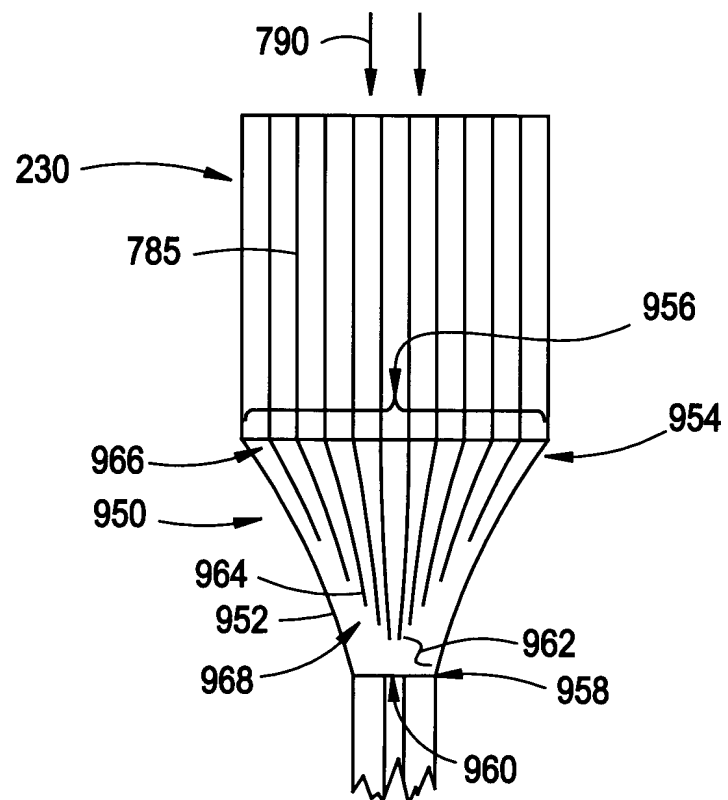


13/19

FIG. 21

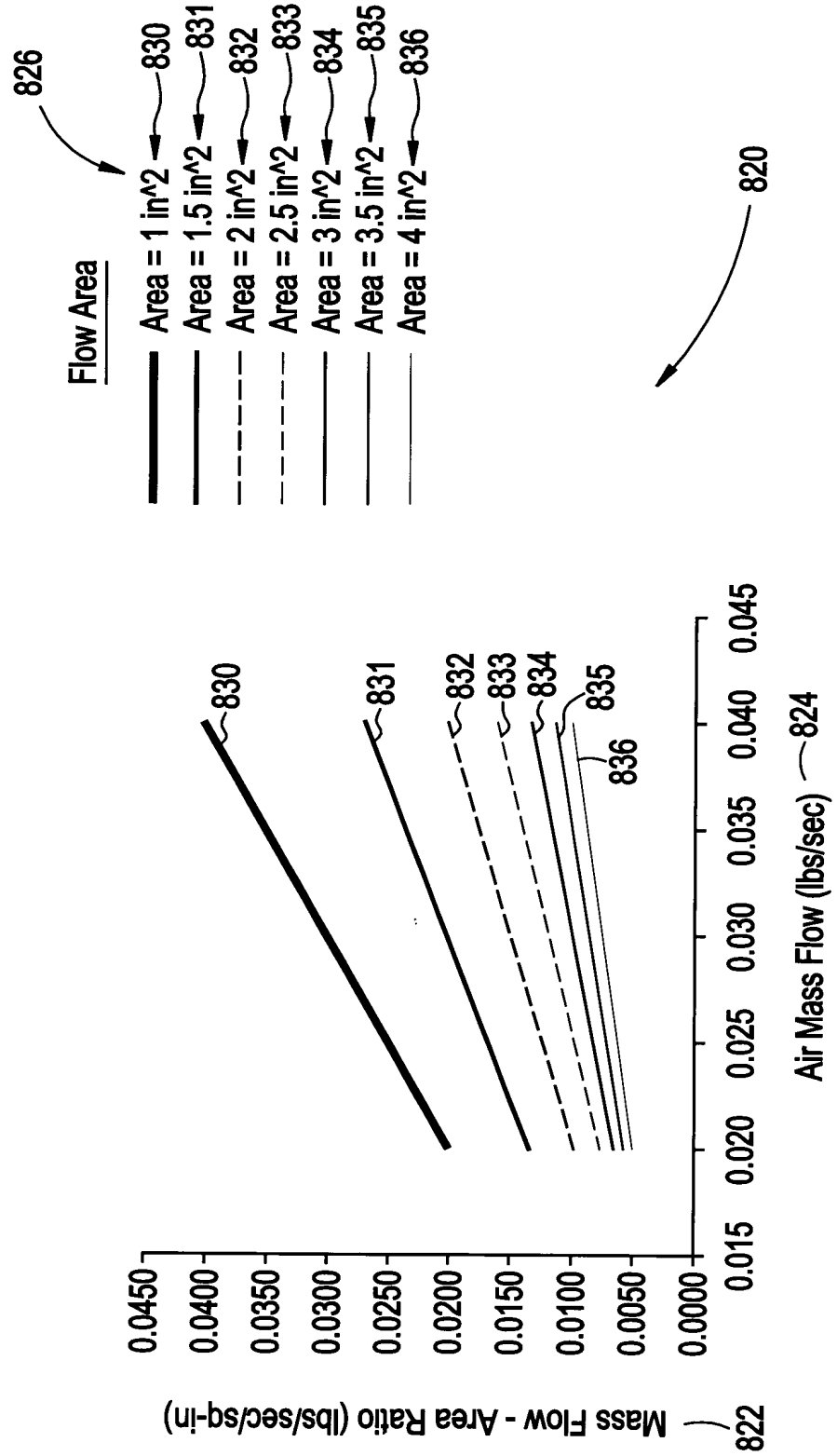


- 930 {
- ▲ Re = 70K, Wide 920
  - × Re = 70K, Narrow 915
- 925 {
- \* Re = 33K, Wide 920
  - Re = 33K, Narrow 915



15/19

FIG. 24



16/19

FIG. 25

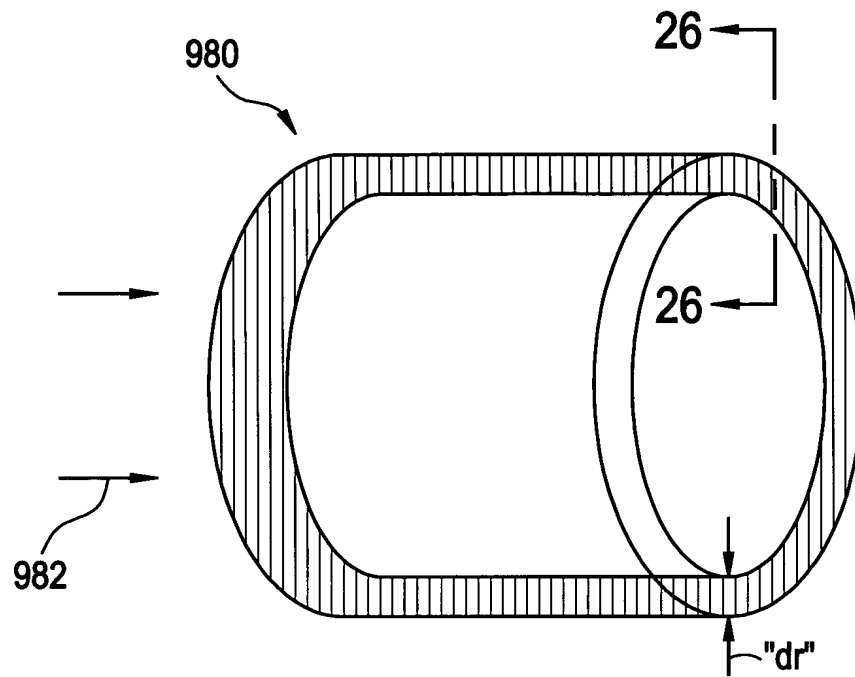
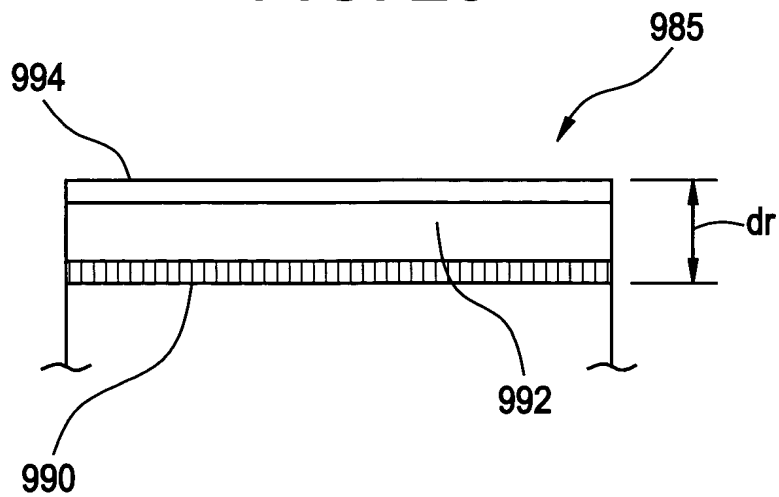


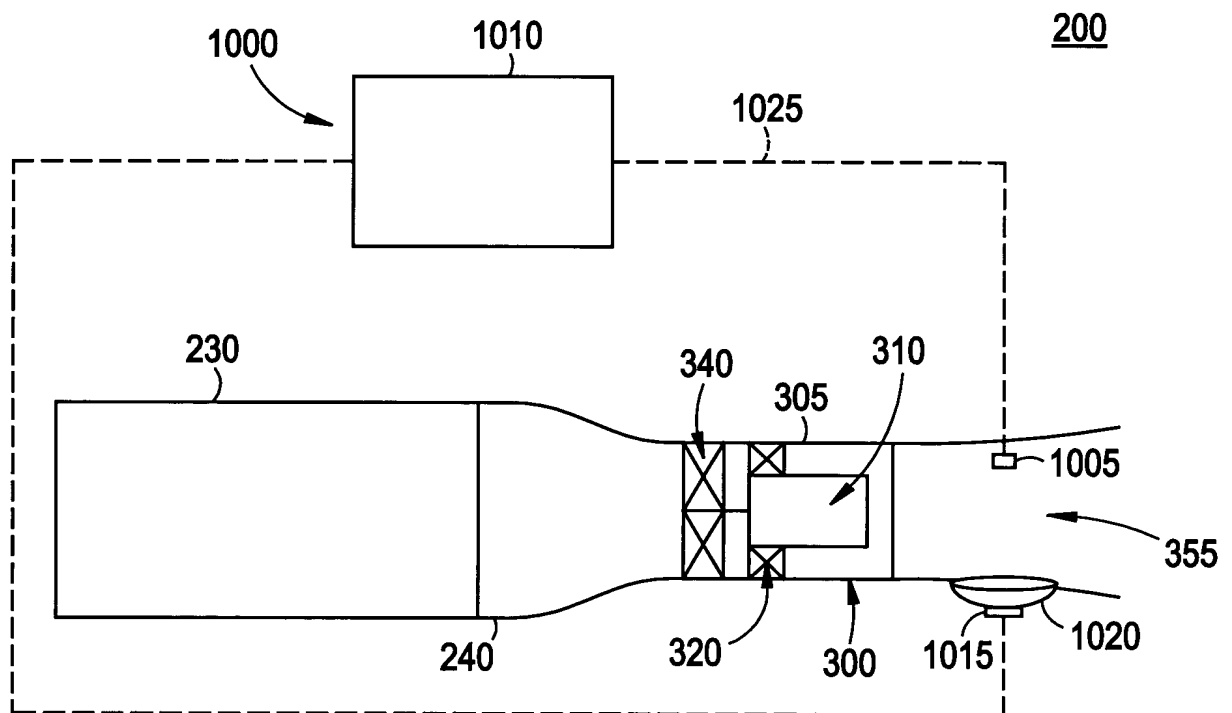
FIG. 26





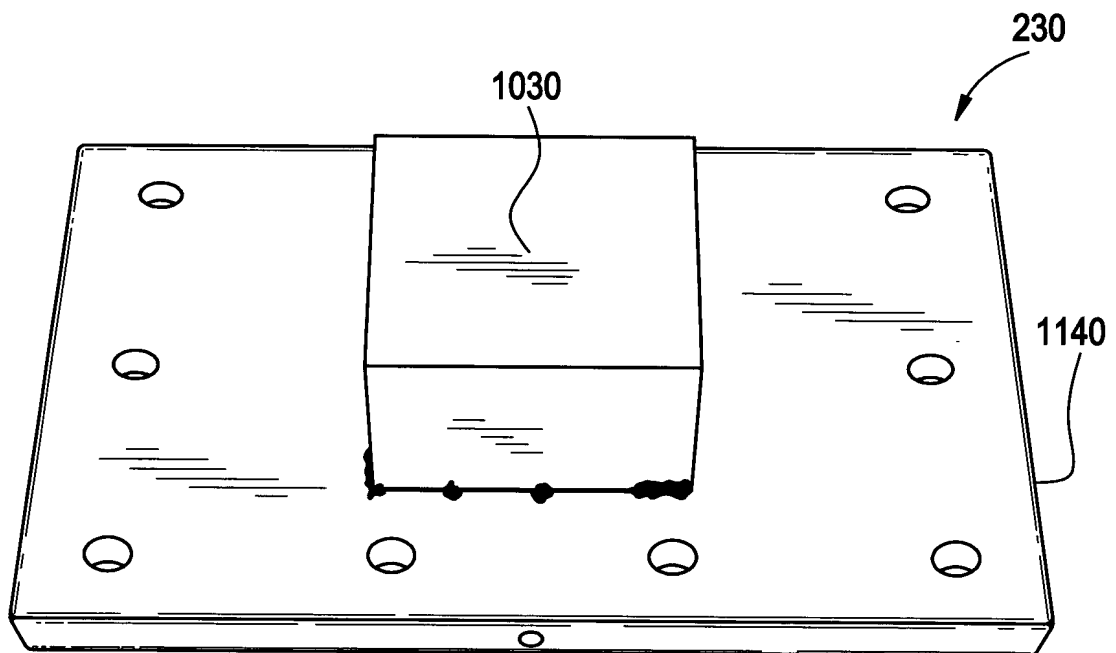
17/19

FIG. 27



18/19

FIG. 28



19/19

FIG. 29

